

دگرگونه‌های زاینده‌رود، شمال شهرکرد: دو تفسیر به کلی متفاوت از یک مجموعه پی‌سنگی در نقشه‌های زمین‌شناسی نجف‌آباد و چادگان

روضوه جمالی آشیانی^۱، جمشید حسن‌زاده^{۲*} و محمد رهگشای^۳

^۱دکترا، دانشکده علوم زمین، دانشگاه شهید بهشتی، تهران، ایران

^۲محقق، مؤسسه فناوری کالیفرنیا، کالیفرنیا، ایالت متحده آمریکا

^۳استاد، دانشکده علوم زمین، دانشگاه شهید بهشتی، تهران، ایران

تاریخ پذیرش: ۱۳۹۵/۱۰/۰۸ تاریخ دریافت: ۱۳۹۵/۰۷/۲۵

چکیده

دگرگونه‌های زاینده‌رود در نقشه زمین‌شناسی یکصد هزارم نجف‌آباد به پرکامبرین و در نقشه چادگان به ژوراسیک نسبت داده شده‌اند. این تفسیرهای بسیار متفاوت سبب شده که این دو نقشه از ناسازگارترین نقشه‌های زمین‌شناسی همسایه باشند. طبق نقشه نجف‌آباد دگرگونه‌های زاینده‌رود به طور ناهمشیب با سنگ‌آهک‌های پرمین پوشیده شده‌اند و در نتیجه سن نسبی آنها پیش از پرمین است. از سوی دیگر این دگرگونه‌ها با توده‌های گرانیتوییدی قطع شده‌اند که سن تبلور آنها به روش U-Pb روی زیرکن نوپرتوزوییک پایانی است؛ بنابراین سن پروتولیت دگرگونه‌ها پرکامبرین است. در برای آن، در نقشه چادگان سن پروتولیت دگرگونه‌ها و توده‌های گرانیتوییدی قطع کننده آنها ژوراسیک منظور شده است. در این مقاله دلایل قابل شدن سن ژوراسیک برای پروتولیت دگرگونه‌ها و ارتوگنیس‌های میلیونی در نقشه چادگان در قالب خطا در مشاهده میدانی تحلیل شده است. همچنین بحث شده است که سن‌های ژوراسیک به دست آمده به روش $^{40}\text{Ar}/^{39}\text{Ar}$ نشان‌دهنده زمان دگرگونی است و تأییدی بر سن خط‌آمیز ژوراسیک برای پروتولیت آنها شمرده نمی‌شود.

کلیدواژه‌ها: دگرگونه‌های زاینده‌رود، نقشه زمین‌شناسی نجف‌آباد، نقشه زمین‌شناسی چادگان، پرکامبرین، ژوراسیک.

*نویسنده مسئول: جمشید حسن‌زاده

E-mail: Jamshid@caltech.edu

۱- پیش‌نوشتار

پروتولیت دگرگونه‌ها ملاک قرار می‌گیرد (Compton, 1985)؛ اما حقیقت این است که به نظر می‌رسد مشکل در تفاوت سلیقه نبوده است. چون بررسی نقشه زمین‌شناسی چادگان نشان می‌دهد که سن ژوراسیک نسبت داده شده به دگرگونه‌های زاینده‌رود، از نگاه تهیه کنندگان نقشه بر مشاهده فسیل بوده؛ یعنی استناد چینه‌شاخته داشته است. بدون تردید کاوش در فهم چگونگی شکل‌گیری این دو دیدگاه ناسازگار، اهمیت بسزایی دارد. این مقاله با استفاده از روابط قطع شدگی دیده شده روی زمین و همچنین بر پایه یافه‌های ژئوکرونولوژیک در مورد این اختلاف تفسیر داوری می‌کند.

۲- همبrijی ناهمشیب میان رسوبات پرمین و دگرگونه‌ها

دگرگونه‌های زاینده‌رود بیشتر شامل میکاشیست، گرافیت‌شیست، متاولکائیک، ارتوگنیس و آمفیولیت است که دستخوش برش (shearing) شدید شده‌اند (شکل ۳). نرم‌فرسایی این کمپلکس، جز در دیواره‌های سترگ رودخانه زاینده‌رود، چشم‌اندازهایی از نوع تپه‌ماهور و عاری از پستی و بلندی زیاد در کل منطقه پدید آورده است. روی این بی‌سنگ آذرین- دگرگونی نرم‌فرسایی سنتی‌هایی مرکب از لایه‌های رسوبی جوان تر به طور ناهمشیب و یا گسلی قرار دارند. کهن‌ترین این واحدهای رسوبی لایه‌های رسوبی پرمین هستند که آثار دگرگونی ندارند و بر پایه نقشه نجف‌آباد با کنگلومراپایه روی شیسته‌های پرکامبرین نشسته‌اند. چون این همبrijی اهمیت کلیدی در گشودن معماهی اختلاف گرافیت میان دو نقشه زمین‌شناسی مورد بحث دارد، توصیف دقیق آن ضروری است.

سنگ‌آهک پرمین، ستینه‌های کم ارتفاعی را به دنبال هم و در امتداد شمال غربی در نیمه جنوبی هر دو برگه تشکیل می‌دهد (شکل های ۱ و ۴). در نظر گرفتن سن پرمین برای این واحد سنگی، بر پایه گزارش زاهدی (۱۳۵۵) از محدوده نقشه یکصد هزارم نجف‌آباد است که بقایای میکروفسیل‌های فوزولینید را در همین سنگ‌ها دید و سن پرمین میانی تا بالایی را برای آنها در نظر گرفته است. وی سترای رخمنونهای پرمین را میان ۲۰ تا ۱۰۰ متر گزارش کرده که به طور دگرگشیب با رسوبات ژوراسیک پوشیده شده‌اند.

مطالعات صحرایی نشان می‌دهد کنگلومرا و ماسه سنگ پایه پرمین، با سترای متغیر

وجود اختلاف میان نقشه‌های زمین‌شناسی همسایه غیرمعمول نیست و روش جاری برای رفع آنها یکسان‌سازی‌های لازم پیش از چاپ پایانی است؛ هر چند که استنتاها بی هم وجود دارد. برداشت‌های بسیار متفاوت از سن دگرگونه‌های زاینده‌رود نمونه آشکاری از اجرا نشدن یکسان‌سازی نقشه‌های است. این مجموعه مرکب از شیسته‌ها و ارتوگنیس‌های میلیونی شده با گسترش پیش از ۸۰۰ کیلومتر مربع است که با روندی موازی ساختارهای اصلی زاگرس در استان‌های اصفهان و چهارمحال بختیاری رخمنون دارند. رخمنونهای مربوط در چهارگوش‌های دویست و پنجاه هزارم اصفهان (زاهدی، ۱۳۵۵) و شهرکرد (زاهدی و رحمتی ایلخچی، ۱۳۸۴) جای دارند و به عنوان مجموعه‌های پی‌سنگی معرفی شده‌اند که به طور ناهمشیب زیر سنگ‌های کربناتی پرمین جای گرفته‌اند (شکل ۱). در نقشه‌های زمین‌شناسی یکصد هزارم، بیشتر این دگرگونه‌ها در برگه‌های نجف‌آباد (زاهدی، ۱۳۵۴) و چادگان (زاهدی و همکاران، ۱۳۸۵) جای می‌گیرند که اولی به درستی نشان از سن پرکامبرین برای این سنگ‌ها دارد؛ اما دومی با تفسیر از پایه متفاوت، سن این دگرگونه‌ها را ژوراسیک معرفی می‌کند (شکل ۲). این ناخمکوانی گراف درباره سن دگرگونه‌های زاینده‌رود سبب شده است که برگه‌های نجف‌آباد و چادگان نمونه‌ای از نقشه‌های زمین‌شناسی متفاوض کنار هم از آب در آیند. داده‌های U-Pb زیرکن که در اینجا ارائه می‌شود، درستی تفسیر تهیه کنندگان نقشه نجف‌آباد را تأیید می‌کند.

اندازه‌گیری‌های رادیومتری اخیر با استفاده از روش U-Pb روی زیرکن دو دسته سن را برای گرانیتوییدهای قطع کننده این مجموعه به دست داده است که دسته قیمی تر شامل سن‌های نوپرتوزوییک پایانی است (Nutman et al., 2014) جمالی آشیانی و همکاران، ۱۳۹۵؛ Davoudian et al., 2016). بنابراین سن پروتولیت دگرگونه‌ها بی‌گمان پرکامبرین است. اکنون پرسش این است که تهیه کنندگان نقشه‌های نجف‌آباد و چادگان بر پایه کدام مشاهده‌های میدانی به دیدگاه‌های چینین متفاوت رسیده‌اند؟ آیا این تفاوت از این رو است که یکی سن پروتولیت دگرگونی را میار قرار داده است و دیگری زمان دگرگون شدگی را؟ هر چند که اگر هم دلیل آن بوده است، قابل دفاع نیست. چرا که در روش معمول تهیه نقشه در مجموعه‌های دگرگونی، با آنها به شکل واحدهای رسوبی و آتشفشنانی برخورد می‌شود. یعنی سن

ضمن شاهد میدانی برای آن وجود ندارد. صرف نظر از بود شواهد میدانی برای دگرگشی یاد شده، ادعای وجود بلمنیت در هر دو سری دگرگونه‌ها لزوم بازه زمانی به نسبت کوتاهی را برای این دگرگشی زاویه‌دار مطرح می‌کند که با زمان بسیار طولانی‌تر لازم برای شکل‌گیری آن شامل تدفین بسیار ژرف، چین خوردگی و دگرگونی، برخاست زمین‌ساختی، فرسایش مجموعه دگرگونی پایینی، نشست ناحیه‌ای، پیشروی دریابی، نهشته شدن لایه‌های بالایی، تدفین بسیار ژرف دوباره، چین خوردگی و دگرگون شدن لایه‌ها و برخاست زمین‌ساختی) منافات دارد. حتی پذیرش این مدل ذهنی وقتی دشوارتر می‌شود که نقشه زمین‌شناسی نشان می‌دهد دو مجموعه دگرگونی متناسب به ژوراسیک به‌طور دگرگشیب با ردیف‌هایی از نهشته‌های رسوبی دگرگون شده ژوراسیک شامل کنگلومراي قاعده‌ای، سنگ‌آهک‌های استبرایه بلمنیت‌دار و شیل پوشیده شده است. به عبارت دیگر نتیجه این مدل ذهنی آن است که آهنج رویدادهای زمین‌ساختی زمان ژوراسیک در ناحیه چادگان به‌طور کاملاً استثنایی با دیگر نقاط جهان در همه زمان‌ها متفاوت و از آنها بس‌تندتر بوده است.

۳-۳. نادگرگون بودن نهشته‌های پیش از ژوراسیک

نهشته‌های رسوبی-آشفلدانی پرمین و تربیاس در محدوده این نقشه دگرگون نشده‌اند و این با دگرگونه بودن واحدهای سنگی ژوراسیک، آن گونه که در نقشه چادگان رسم شده است، ممخوان نیست. همان‌طور که تصویر میدانی (شکل ۳) و نتایج دماپشارسنجی (جدول‌های ۱ و ۲) نشان می‌دهد؛ دگرگونه‌ها و میلونیت‌ها در دما و فشار بالا یعنی در ژرفای زیاد تبلور دوباره یافته‌اند و چار دگرگشکلی خمیری شکل شدیدی شده‌اند. برای نمونه، گسترش نوارهای برشی در گرانیتوییدها (شکل ۳-ه) و نازک‌شده‌گی خیلی زیاد در دایک‌های دیبازی (شکل ۳-و) یا نگار کشیدگی شدید در دگرگونه‌ها در دمای بالاست. نبود چنین تغییرات بافتی در واحدهای سنگی پرمین و تربیاس خود نشان می‌دهد که برخلاف استناد نقشه چادگان، سن پروتولیت دگرگونه‌ها نمی‌تواند ژوراسیک باشد. به عبارت دیگر اگر نهشته‌های ژوراسیک چنان تدفین ژرفی یافته باشند که دگرگونه‌های زاینده‌رود از آنها بوجود آمده باشد؛ چگونه ممکن است که نهشته‌های پرمین و تربیاس چنان رویداد دگرگونی را تجربه نکرده باشند.

۴-۴. اهتمام در فرض سن ژوراسیک برای همه گرانیتوییدها

پرسش دیگر، چگونگی قائل شدن سن ژوراسیک برای گرانیت‌های گنیسی شده نوپرتوزوویک است (جدول ۳). این نتیجه‌گیری باید حاصل فرض کردن ارتباط دگرگون شده‌گی سنگ‌های زاینده‌رود با فعالیت آذرین درونی باشد. اگر چه این ارتباط در مقیاس ناحیه‌ای ممکن است به دلیل فراوانی گرانیتوییدهای ژوراسیک در پهنه سنتنگ-سیرجان منطقی به نظر برسد؛ اما دگرگونی فشار بالا ژوراسیک (Izadyar et al., 2013) نمی‌تواند از نفوذ گرانیتوییدهای ژوراسیک زاینده‌رود (حسینی و احمدی، ۱۳۹۵) نتیجه شده باشد.

۴-۵. آزمون دو دیدگاه مختلف با استفاده از یافته‌های ژنکرونولوژیک

همان‌طور که پیش تر گفته شد، مشاهده میدانی نشان از سن کهنه‌تر از پرمین برای دگرگونه‌ها دارد (شکل ۳). تعیین سن تبلور گرانیتوییدهایی که به ارتقای گنیسی و میلونیت بدل شده‌اند، با روش U-Pb روی بلورهای زیرکن ماقمایی، این مشاهده را تأیید و زمان نوپرتوزوویک پایانی را برای بخشی از فعالیت آذرین درونی مشخص می‌کند (جدول ۳). بنابراین سنگ‌های قطع شده توسط گرانیتوییدها از آن هم قدیمی‌ترند و به احتمال، معادل سنی سازند که روایت داده شده باشد. اما سن دقیق آنها هنوز معلوم نیست (Hassanzadeh et al., 2008; Horton et al., 2010; Etemad-Saeed et al., 2016; Fergusson et al., 2016; Jamshidi-Badr et al., 2010; Etemad-Saeed et al., 2016) گفته‌ی است که واحدهای سنگی کهنه‌تر از سازند که هنوز با قطعیت در پهنه سنتنگ-سیرجان معرفی نشده‌است. با این حال دگرگونه‌های زاینده‌رود نمونه دیگری از پی‌سنگ

۰/۵ تا ۳ متر و به رنگ خاکستری تیره دارای خرده‌های شیست سیاه و کوارتز شیری رنگ از پی‌سنگ است که با خرده‌سنگ‌های آهکی و کوارتزیتی همراهی می‌شوند. بعضی نمونه‌های دارای دانه‌های پیریت آواری هستند که به نظر می‌رسد از پی‌سنگ سرچشم‌گرفته‌اند (شکل ۴-ب). شیستهای سیاه‌رنگ (خنی از مواد آلی) می‌توانند دارای پیریت فراوان باشند. در این حالت باید فرسایش مکانیکی شدیدی رخ داده باشد تا پیریت بتواند به صورت آواری انتقال و رسوب دوباره باید. گرافیت-شیست، از سنگ‌های شاخص مجموعه دگرگونی زاینده‌رود، اصلی‌ترین خرده‌سنگ‌های تشکیل‌دهنده این واحد است. بر پایه این همبری، سن نسبی دگرگونه‌ها بی‌گمان کهنه‌تر از سنگ‌آهک‌های پرمین روی آنهاست. شایان توجه است که رخمنون‌های آشکار این همبری ناهمشیب و کلیدی، در برگه زمین‌شناسی چادگان به کلی نادیده گرفته شده است. رخمنون آشکاری از این همبری ناهمشیب، در معدن سنگ لاشه قادر آباد با موقعیت جغرافیایی ۳۴°۳۴' ۵۹°۴۵' عرض شمالی و ۵۰ متر خاوری در ارتفاع حدود ۲۱۴۰ متری در کنار جاده تیران-سامان، و در حاشیه خاوری برگه چادگان در برابر دید است (شکل ۴-الف). هر چند گفته‌ی است که در این رخمنون هیچ خرده‌سنگی از میکاشیست‌ها و گنیس‌ها درون کنگل‌مرا دیده نمی‌شود.

۳-۱. دیگر برداشت‌های نادرست در برگه چادگان

نقشه زمین‌شناسی چادگان از چند منظر دیگر نیز دستخوش خطای در مشاهدات و تفسیر آنهاست که در ادامه بررسی خواهد شد.

۳-۲. انتساب خط آمیز همراهی سنگ‌های فیل‌دار ژوراسیک با دگرگونه‌ها

افزون بر نادیده گرفتن همبری ناهمشیب رسوبات پرمین با دگرگونه‌ای زیر آن، در برگه یکصد هزارم چادگان ادعا شده که بخش میانی مجموعه دگرگونی زاینده‌رود با درجه دگرگونی در حد رخساره آمفیبولیت و اکلوژیت با لایه‌های سنگ‌آهک بلمنیت‌دار همراه است (شکل ۱) و همین فرض موجب نسبت دادن پروتولیت دگرگونه‌های زاینده‌رود به ژوراسیک شده است. فرض باد شده به کلی خطاست؛ زیرا حفظ فیل در سنگ‌هایی گرم شده تا حد تبلور گارنت و آمفیبول ممکن نیست. محاسبات زمین‌دانسنجی روی زوج کانی گارنت-کلینپیروکسن در سنگ‌های باد شده دامنه دمای ۵۰۰ تا ۶۰۰ درجه سانتی‌گراد را نشان می‌دهد که به معنی تبلور دوباره کامل است (جدول ۱). حال باید پرسید این خطاء یعنی دیدن سنگ‌آهک بلمنیت‌دار در میان دگرگونه‌هایی با آن شدت دگرگونی از کجا ناشی شده است؟

نهشته‌های سنگ‌آهکی دگرگون نشده ژوراسیک رخمنون‌های گسترده دارند و به طور گسلی روی دگرگونه‌ها قرار گرفته‌اند. برای نمونه در نقطه B (شکل ۵) بلوک‌های پراکنده کمارتفاع و محدودی از این سنگ‌های آهکی روی دگرگونه‌های نرم فرسا قرار دارند. به نظر می‌رسد در برگرفته شدن رخمنون سنگ‌آهک با دگرگونه‌ها سبب ایجاد این ذهنیت شده است که سنگ‌آهک‌های فیل‌دار به‌شکل میان‌لایه درون دگرگونه‌ها هستند. اما صرف نظر از نامخوانی گراف دمای تشکیل سنگ‌های آهکی فیل‌دار و دگرگونه‌های رخساره آمفیبولیت، بررسی قاعده رخمنون‌ها نشان می‌دهد که فرض میان‌لایه‌ای بودن سنگ‌آهک‌ها درست نیست. همبری سنگ‌های آهکی ژوراسیک با دگرگونه‌های زیرین آنها گسلی است (شکل ۵-ب). جالب توجه است که این همبری گسلی میان سنگ‌های رسوی ژوراسیک و دگرگونه‌های زاینده‌رود پیش از این هم در بخش‌هایی از نقشه چادگان و نیز در نقشه یک دویست و پنجاه هزارم شهرکرد نشان داده شده است. همبری گسلی مشابه در ورقه یکصد هزارم محلات میان سنگ‌های رسوی دگرگون نشده ژوراسیک با دگرگونه‌های پرکاربرین گزارش شده است (شیخ‌الاسلامی و زمانی پدرام، ۱۳۸۴).

۳-۳. دگرگشیبی ژاویده‌دار بحث‌انگیز در میان دو مجموعه دگرگونی متنسب به ژوراسیک

دگرگشیبی نمایش داده شده میان دو دسته دگرگونه‌های پایینی و بالایی در مقطع عرضی پایین نقشه چادگان، از دیدگاه اصول زمین‌شناسی قابل توجیه نیست و در

می‌کند و سن نوپرتوزوویک پایانی را برای گنیس‌های میلوبنیتی شده و قطع کننده دگرگونه‌ها به دست می‌دهد. نقشه نجف‌آباد از این رو که دگرگونه‌های زاینده‌رود را به عنوان پی‌سنگ پرکامبرین معرفی می‌کند، با داده‌های ژئوکرونولوژی نوین همخوانی دارد. سن ژوراسیک نسبت داده شده به دگرگونه‌ها در نقشه زمین‌شناسی چادگان نادرست بوده و از دو اشتباه در مشاهدات میدانی نتیجه شده است. نخست، نادیده گرفتن همبُری ناهمشیب سنگ‌آهک‌های پرمین و دگرگونه‌ها و دوم، فرض مجاورت نهشتی (Depositional contact) سنگ‌آهک‌های فسیل دار ژوراسیک با دگرگونه‌ها. صرف نظر از اینکه سن تبلور گرانیت‌ویدهای پروتوولیت گنیس‌های زاینده‌رود اینکه با روش‌های پرتوسنجی مناسب پرکامبرین تعیین شده است؛ سن‌یابی آرگون نیز هماره‌ی نهشتی (Depositional assemblage) رسوبات ژوراسیک و دگرگونه‌ها را تأیید نمی‌کند. دمای بسته شدن این کانی‌ها بازه ۴۰۰ تا ۴۰۰ درجه سلسیوس دارند و این در حالی است که دماستجی کانی‌ها نشان می‌دهد که بیشترین دمای دگرگونی بالاتر از این دامنه بوده است. بر پایه فشارسنجی کانی، سنگ‌ها در فشار ۱۷ کیلوبار معادل ژرفای حدود ۵۰ کیلومتری بوده‌اند. بنابراین با توجه به لزوم تدفین ژرف در ژوراسیک چگونه ممکن است که دگرگونه‌ها در همان زمان در سطح زمین تصور شوند که رسوبات روی آنها را پوشانند؟ بازنگری و بهروز کردن نقشه‌ها از جمله مسئولیت‌های بنیادی و درازمدت سازمان زمین‌شناسی کشور است که زمان پایانی برای آن متصور نیست. پیکسان‌سازی برگه‌های یکصد هزار چادگان و نجف‌آباد به دلیل ناهمخوانی‌های آشکاری که با یکدیگر دارند کاری ضروری است و انجام آن با استفاده از پرسش‌ها و توصیه‌های مطرح شده در این مقاله و لحاظ کردن داده‌های ژئوکرونولوژیک انجام شدنی و بسیار آموزنده خواهد بود.

سپاسگزاری

این پژوهش از دستاوردهای علمی مرحوم دکتر محمد محجل سود برده است که سالیان درازی را وقف پاسخگویی به پرسش‌های مرتبط با دگرگونه‌های زاینده‌رود و دیگر مجموعه‌های پی‌سنگی پنهان سنتدج- سیرجان نمود. از خدمات علمی تهیه کنندگان نقشه‌های زمین‌شناسی نجف‌آباد و چادگان سپاسگزاری می‌شود که با کوشش‌های بی‌دریغ و ایده‌های چالش‌برانگیز خود باب بحث در مورد سن و منشاء دگرگونه‌های زاینده‌رود را گشودند. تفکر نگارش پرسش‌های مطرح شده در این مقاله از آن دکتر سعید علیرضایی است که برای انگیزه بخشیدن به نگارندگان جای سپاس دارد.

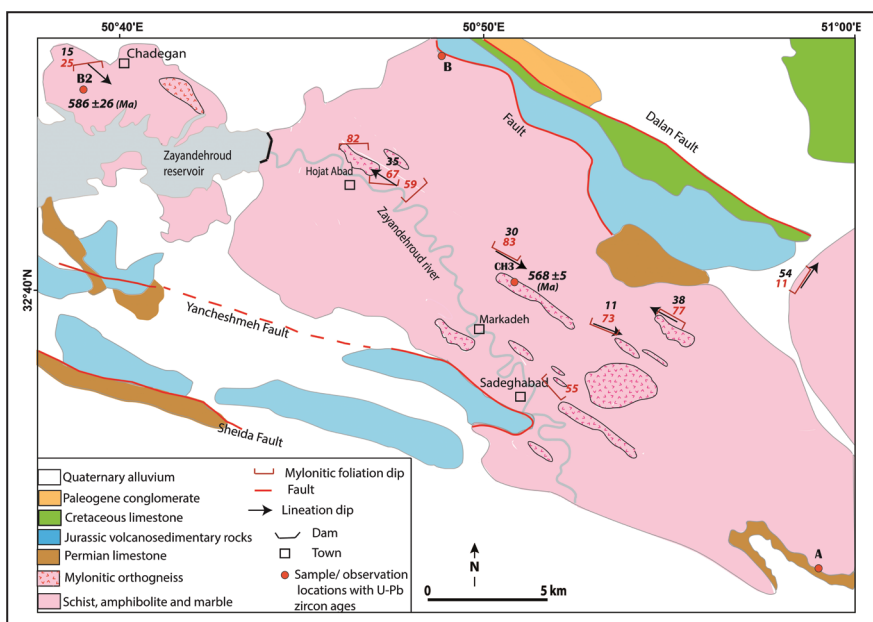
پرکامبرین در ایران هستند که پیشتر رخنمون آنها از جاهای دیگر پنهان سنتدج- سیرجان گزارش شده است (Eftekharnezhad et al., 2004; Hassanzadeh et al., 2008; Nutman et al., 2014; Hassanzadeh and Wernicke, 2016).

۵- نتایج سن‌یابی آرگون- آرگون و معانی آن در ارتباط با دو دیدگاه مختلف

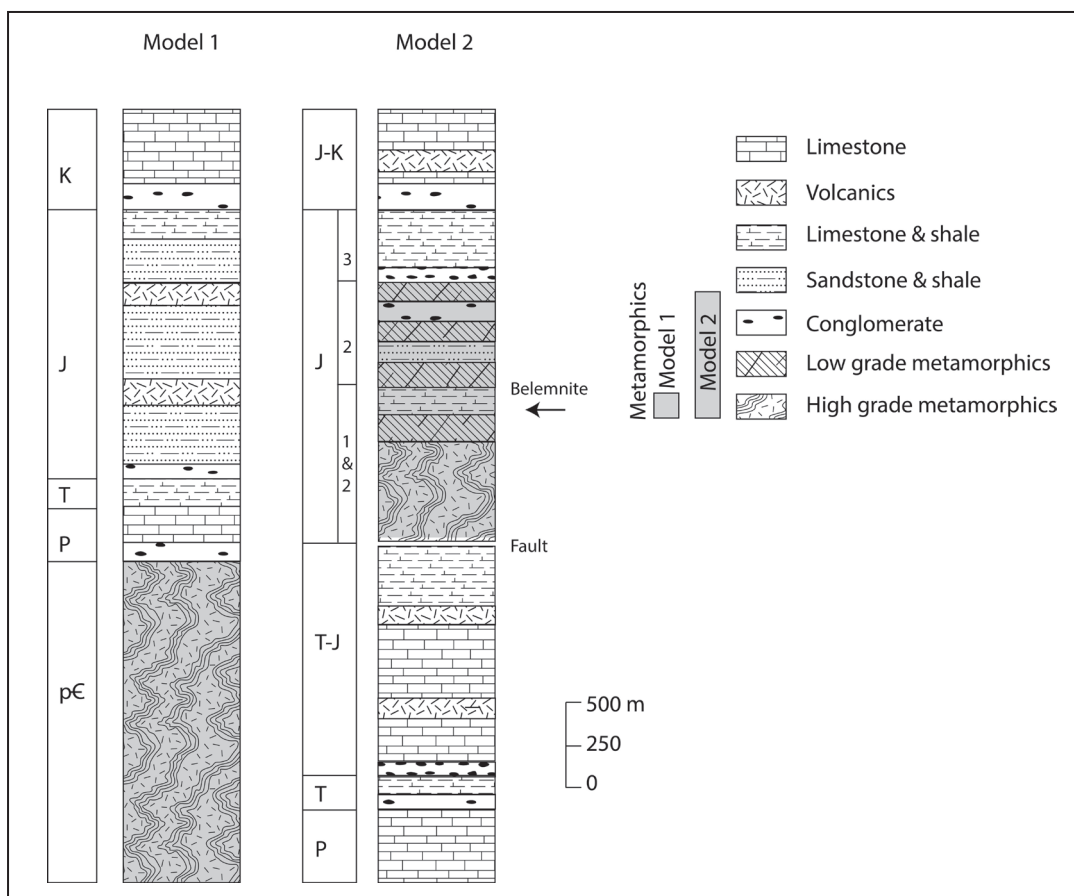
Davoudian et al. (2016) آرگون میکای سفید از گنیس‌ها و آکلوزیت چادگان، سن ژوراسیک را گزارش کرده‌اند (جدول ۴). بدون تردید این سن‌ها بیانگر آخرین زمان دگرگونی ناحیه‌ای برای مجموعه زاینده‌رود هستند و همان‌طور که از سن‌های نوپرتوزوویک U-Pb زیرکن در جدول ۳ بر می‌آید؛ ربطی به سن پروتوولیت دگرگونه‌ها ندارد (Davoudian et al., 2016) و (جمالی آشتینی و همکاران، ۱۳۹۵). این سن دگرگونی برای دیگر نقاط پنهان سنتدج- سیرجان از جمله همدان (Agard et al., 2005; Sepahi et al., 2014) توتک و نیریز- چاه دزدان (Hosseini et al., 2012; Fazlnia et al., 2009; Sheikhholeslami et al., 2008) (دوادیان و همکاران، ۱۳۹۰) موجب تقویت فرض خط‌آمیز سن ژوراسیک برای دگرگونه‌های زاینده‌رود شده و از سوی دیگر به فرضیه پردازی در مورد تشکیل حوضه اقیانوسی جدید در میانه پنهان سنتدج- سیرجان در زمان ژوراسیک آرگون، محک مناسبی برای سن ژوراسیک نسبت داده شده به دگرگونه‌های زاینده‌رود است. زیرا با توجه به اینکه دمای بسته شدن شبکه بلوری میکای سفید بر روی آرگون حدود ۳۵۰ درجه سانتی‌گراد است (Pourteau et al., 2013; McDougall and Harison, 1999)؛ پس دگرگونه‌های فشار بالای مطالعه شده در زمان ژوراسیک در ژرفای زیاد مدفون بوده‌اند. با این تفسیر، مجاورت نهشتی (Depositional contact) سنگ‌آهک‌های فسیل دار ژوراسیک با دگرگونه‌های زاینده‌رود در مدل ب (شکل ۲) غیر ممکن است.

۶- نتیجه‌گیری

روش جاری برای نمایش سنگ‌های دگرگونی در نقشه‌های زمین‌شناسی، بر پایه سن پروتوولیت رسوبی یا آذرین آنهاست. بنابراین درست آن است که دگرگونه‌های زاینده‌رود بر پایه سن پروتوولیت به پرکامبرین نسبت داده شوند. یعنی همان‌طور که در مدل A نمایش داده شده است. مشاهدات میدانی نشان می‌دهد که سن نسبی دگرگونه‌های زاینده‌رود پیش از پرمین است. داده‌های U-Pb زیرکن نیز آن را تأیید



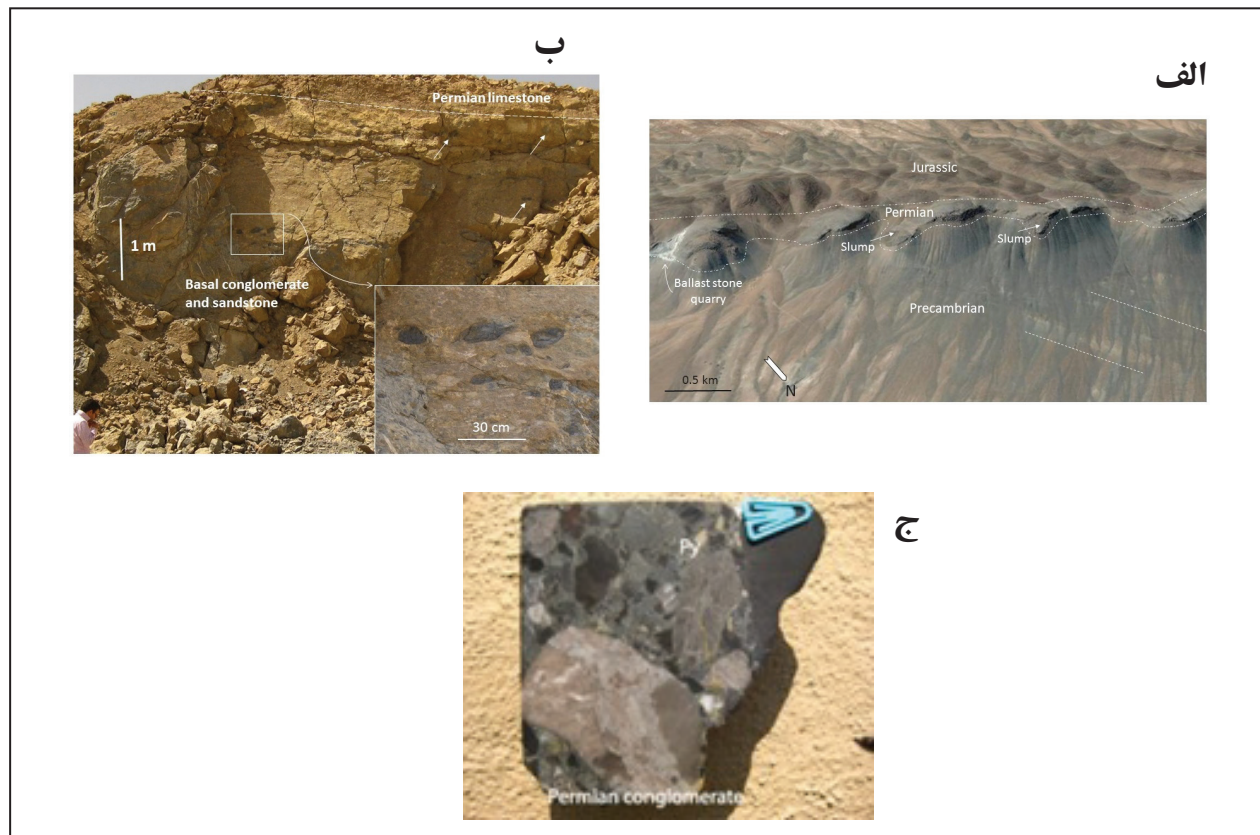
شکل ۱- نقشه زمین‌شناسی ساده شده دگرگونه‌های زاینده‌رود در محلوده برگه یکصد هزار ایلخچی، (برگره از زاهدی و رحمتی ایلخچی، ۱۳۸۴)، نقطه A موقعیت ناهمشیبی میان قاسمی و همکاران، ۱۳۸۵). نقطه A نمایش ناهمشیبی میان سنگ‌های رسوبی دگرگون نشده پرمین با دگرگونه‌های پرکامبرین و نقطه B موقعیت ناهمشیبی میان نهشته‌های دگرگون نشده ژوراسیک با دگرگونه‌های پرکامبرین را نشان می‌دهد. نقطه B2 محل نمونه ارتوگنیس سن‌یابی شده توسط Nutman et al. (2014) و نقطه CH3 موقعیت نمونه ارتوگنیس میلوبنیتی سن‌یابی شده توسط جمالی آشتینی و همکاران (۱۳۹۵) و نتایج سنی آنها را نشان می‌دهد.



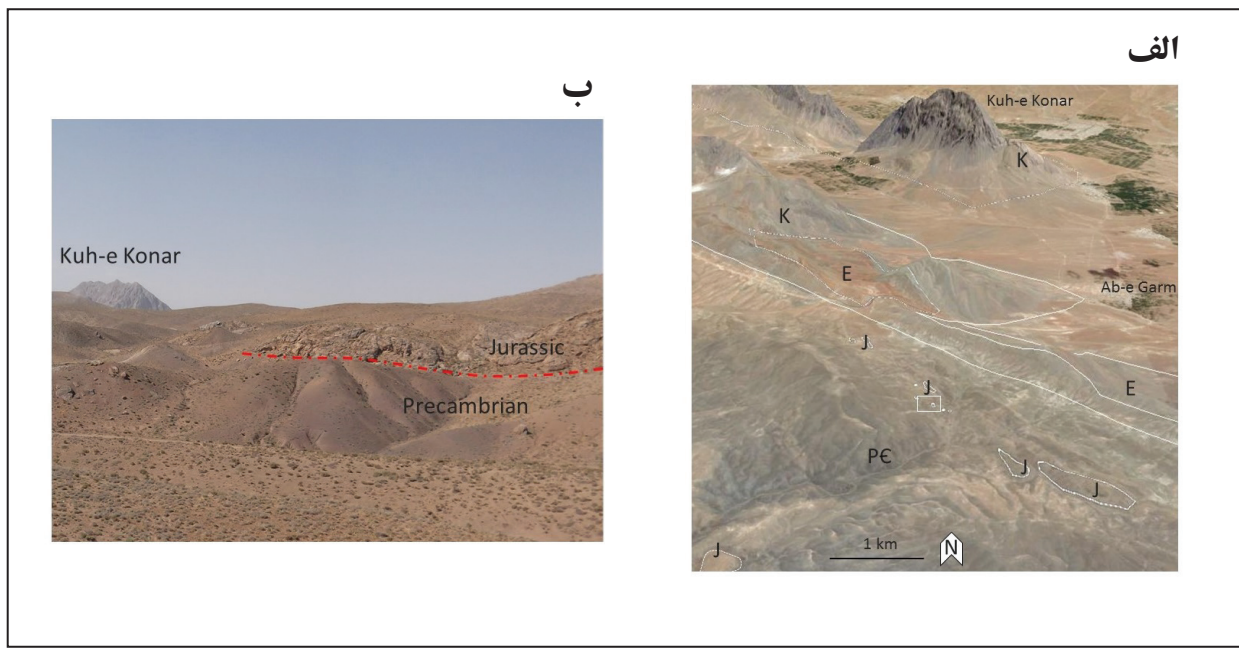
شکل ۲- نمایش ستون‌های چیزه‌شناسی برگرفته از نقشه‌های نجف‌آباد (مدل ۱) و چادگان (مدل ۲). تفاوت برجسته‌ای که دیده می‌شود انتساب سن‌های بسیار متفاوت به دگرگونه‌هاست: نقشه نجف‌آباد (مدل ۱) سن آنها را به درستی پر کامبرین معرفی می‌کند؛ اما نقشه چادگان همان سن‌گها را به ژوراسیک نسبت می‌دهد. متن برای توضیح بیشتر دیده شود.



شکل ۳- تصاویری از واحدهای دگرگونی زاینده‌رود که نمایانگر برخی بافت‌ها، ساخت‌ها و شدت دگرگشکلی است. (الف) گرانیت- میلونیت نفوذ یافته در سنگ‌های دگرگونی در ۵ کیلومتری خاور صادق‌آباد. زمین‌شناسان در روی خطالرأس برای نشان دادن مقیاس در دایره سفید مشخص شده‌اند. گفتنی است که همبری نفوذی اولیه در ادامه در سیاری جاهانگردی شده است؛ (ب) گرانیت- میلونیت نفوذ یافته در سنگ‌های دگرگونی در ۴ کیلومتری خاور صادق‌آباد. خط‌چین سفید، همبری نفوذی را نشان می‌دهد که در برخی جاهانگردی شده است؛ (ج) رخمنونی از گرانیت- میلونیت که در اثر برخش شدید لایه‌بندی دروغین در آن ایجاد شده است. موقعیت ۵ کیلومتری شمال خاور صادق‌آباد، $32^{\circ} 38.022'$, $53^{\circ} 53.863'$; (د) نمای نزدیک از رخمنون دیگری از گرانیت- میلونیت در ۲/۶ کیلومتری شمال باخته حجه‌آباد نوارهای برخی جاهانگردی شده است؛ (ه) نوارهای برخی جاهانگردی از گرانیت- میلونیت مربوط به رخمنون شکل (ج)؛ (و) دایک‌های دیابازی کشیده شده و بودین شده در گرانیت- میلونیت مربوط به رخمنون شکل (د). متن برای توصیف روابط سنی واحدهای سنگی دیده شود.



شکل ۴- الف) نمای کلی موقعیت نقطه A در نقشه زمین‌شناسی شکل ۱ (تصویر از Google Earth); ب) کنگلومرات قاعده پرمن، موقعیت: معدن سنگ لاشه قادرآباد در کنار جاده تبران-سامان، پیکان‌ها به قلوه سنگ‌های درشت اشاره می‌کند که به دلیل قرارگیری در سایه و ضوح کاملاً ندارند؛ ج) نمونه دستی صیقلی شده از کنگلومرات پرمن که شامل قطعات مرمر، اسلیت، شیست سیز، سنگ آهک خاکستری، کوارتزیت، کوارتز شیری و دانه‌های آواری پیریت (Py) است.



شکل ۵- الف) نمای کلی موقعیت نقطه B در نقشه زمین‌شناسی شکل ۱. مستطیل سفید محدوده شکل ب را نشان می‌دهد (نگاه به سوی شمال باخترا) (تصویر از Google Earth); ب) قرارگیری گسلی بلوک‌های پراکنده از سنگ‌های آهکی دگرگون نشده ژوراسیک روی دگرگونهای زاینده‌رود، خط چین سرخ نمایشگر یک گسل بسیار کم شیب است.

جدول ۱- نتایج داده‌های ژئوترمومتری گارنت-کلینوپیروکسن اکلوژیت‌های زاینده‌رود (جمالی آشتیانی، ۱۳۹۵) (محاسبات دماستنجی بر پایه معادلات Ellis and Green, 1979 (Ellis & Green, 1979), Powell (1985), Krogh (1988) and 2000 (Krogh, 1988 and 2000); Pattison and Newton, 1989 (Pattison & Newton, 1989)).

Sample	Rock Type	P (in kbar)	Garnet- Clinopyroxene thermometry (in °C)				
			Ellis & Green (1979)	Powell (1985)	Krogh (1988)	Pattison & Newton (1989)	Krogh (2000)
CH18	Eclogite	17	575	553	530	432	491
		20	582	560	537	441	503
CH19.1	Eclogite	17	591	568	545	461	534
		20	598	575	552	462	536
CH001	Eclogite	17	660	640	619	514	584
		20	667	646	627	524	598

جدول ۲- نتایج فشارهای به دست آمده بر پایه روش زمین‌دماستنجی گارنت-کلینوپیروکسن- فنزیت در اکلوژیت‌های زاینده‌رود (جمالی آشتیانی، ۱۳۹۵) (در محاسبه از معادله Ravna and Terry, 2004 استفاده شده است).

Sample	Rock Type	Garnet- Clinopyroxene- Phengite thermobarometry (P in Kbar and T in °C)		
		T (°C)	750	600
CH18	Eclogite	16.67	17.1	17.38
CH19.1	Eclogite	20.26	20.1	19.82
CH001	Eclogite	22.63	22.46	22.35

جدول ۳- نتایج سن‌سنجی اورتوگنیس‌های میلیونیتی شده به روش ایزوتوپ‌های U-Pb روی زیرکن.

Sample ID	Coordinates		Age, Ma	Reference
CH3	N 32° 39' 58.2"	E 50° 50' 43.6"	568 ± 5	Jamali et al., in press
B2	N 32° 45' 32"	E 50° 38' 43.6"	586 ± 26	Nutman et al., 2014
-	-	-	569 ± 19	Davoudian et al., 2016

جدول ۴- نتایج سن سنجی $^{40}\text{Ar}/^{39}\text{Ar}$ دگرگونه‌های زاینده توسط Davoudian et al. (2016)؛ دمای بسته شدن کانی‌ها برای انتشار ^{40}Ar از است McDougall and Harrison (1999)

Sample ID	Rock type	Mineral	Plateau age (Ma)	Closure temprature* ($^{\circ}\text{C}$)
M40-14A	Eclogite	Phengite	184.3±0.9	-350
M40-14B	Eclogite	Phengite	179.6±0.9	-350
M40-57	Eclogite	Phengite	179.9±0.9	-350
M40-2	Eclogite	Phengite	178.1±1	-350
M40-13	Eclogite	Phengite	175.2±0.9	-350
M38-5A	Eclogite	Phengite	182.9±0.9	-350
M38-5B	Eclogite	Phengite	173.3±0.8	-350
M38-11A	Eclogite	Phengite	181.5±1	-350
M38-11B	Eclogite	Phengite	175.6±1.3	-350
M38-11C	Eclogite	Phengite	172.5±0.8	-350
S19-2A	Paragneiss	Phengite	175.3±0.8	-350
S19-2B	Paragneiss	Phengite	175.3±0.9	-350
M48-2	metagranite	Amphibole	170.1±1	-500
M48-2	Metagranite	Biotite	101.7±0.3	300-350

کتابنگاری

- جمالی آشتیانی، ۱۳۹۵- سنگ‌های دگرگونی درجه بالا در منطقه شمال شهر کرد، زون سنندج- سیرجان: سن، ساختار، منشأ، رساله دکتری، دانشگاه شهید بهشتی.
- جمالی آشتیانی، ر.، حسن‌زاده، ج.، رهگشای، م.، اشمت، ا.، شریفی، آ. و سویل، ا.، ۱۳۹۵- سنگ‌های دگرگونی فشار بالای منطقه زاینده‌رود: تطابق با اکلوژیت- گیس‌های ماسیف متدرس و کاربرد آن در بازسازی نهایی گندوانا، فصلنامه علوم زمین، شماره ۱۰۱، ص. ۱۸۳ تا ۱۹۶.
- حسینی، ب. و احمدی، ا.، ۱۳۹۵- ژئوشیمی و سن سنجی اورانیم- سرب سنگ‌های گرانیتی‌بیدی شمال سامان، فصلنامه علوم زمین، شماره ۱۰۰، ص. ۱۰۹ تا ۱۲۰.
- داودیان دهکردی، ا.، گسیر، ه.، نوی باثیر، ف. و شیانیان، ن.، ۱۳۹۰- یافته‌های نوین از زمان فروزانش نوتیس بر مبنای سن‌نگاری مطلق $^{40}\text{Ar}/^{39}\text{Ar}$ نمونه‌های اکلوژیت شمال شهر کرد، پانزدهمین همایش انجمن زمین‌شناسی ایران.
- Zahedi, M. and Rahmati Aylaghchi, M., 1384- نقشه زمین‌شناسی شهر کرد، مقیاس 1:250000، سازمان زمین‌شناسی و اکتشافات معدنی کشور.
- Zahedi, M., 1354- نقشه زمین‌شناسی نجف‌آباد، مقیاس 1:100000، سازمان زمین‌شناسی و اکتشافات معدنی کشور.
- Zahedi, M., 1355- شرح نقشه زمین‌شناسی اصفهان، مقیاس 1:250000، سازمان زمین‌شناسی و اکتشافات معدنی کشور.
- شیخ‌الاسلامی، م.ر. و زمانی پدرام، م.، 1384- نقشه زمین‌شناسی محلات، مقیاس 1:100000، سازمان زمین‌شناسی و اکتشافات معدنی کشور.
- قاسمی، ع.، حاجی‌حسینی، ا. و حسینی، م.، 1385- نقشه زمین‌شناسی چادگان، مقیاس 1:100000، سازمان زمین‌شناسی و اکتشافات معدنی کشور.

References

- Agard, P., Omrani, J., Jolivet, L. and Moutherreau, F., 2005- Convergence history across Zagros (Iran): constraints from collisional and earlier deformation. International Journal Earth Science 94: 401-419.
- Arfanai, R. and Shahriari, S., 2009- Role of southeastern Sanandaj-Sirjan Zone in the tectonic evolution of Zagros Orogenic Belt, Iran. Island arc 18: 555-576.
- Compton, R. R., 1985- Geology in the field. John Wiley and Sons, Inc.
- Davoudian, A., Genser, J., Neubauer, F. and Shabanian, N., 2016- $^{40}\text{Ar}/^{39}\text{Ar}$ mineral ages of eclogites from North Shahrekord in the Sanandaj-Sirjan Zone, Iran: Implications for the tectonic evolution of Zagros orogen. Gondwana Research 37: 216-240.
- Eftekharnazhad, J., 2004- Explanatory text of geological map of the Mahabad quadrangle B-4, scale 1: 250,000, Geological Survey of Iran.
- Ellis, D. J. and Green, D. H., 1979- An experimental study of the effect of Ca upon garnet-clinopyroxene Fe-Mg exchange equilibria. Contributions to Mineralogy and Petrology 71: 13-22.

- Etemad-Saeed, N., Hosseini-Barzi, M., Adabi, M. H., Miller, N. R., Sadeghi, A., Houshmandzadeh, A. and Stockli, D. F., 2016- Evidence for ca. 560 Ma Ediacaran glaciation in the Kahar Formation, Central Alborz Mountains, northern Iran. *Gondwana Research* 31: 169-183.
- Fazlnia, A., Schenk, V., Straaten, F. and Mirmohammadi, M., 2009- Petrology, geochemistry and geochronology of trondhjemites from Qori complex, Neyriz, Iran. *Lithos* 112: 413-433.
- Fergusson, C. L., Nutman, A. P., Mohajjal, M. and Bennett, V. C., 2016- The Sanandaj- Sirjan Zone in the Neo- Tethyan suture, western Iran: Zircon U-Pb evidence of late Paleozoic rifting of northern Gondwana and mid- Jurassic orogenesis. *Gondwana Research* 40: 43-57.
- Hassanzadeh, J. and Wernicke, B. P., 2016- The Neotethyan Sanandaj- Sirjan zone of Iran as an archetype for passive margin- arc transitions. *Tectonics*, 10.1002/2015TC003926.
- Hassanzadeh, J., Stockli, D. F., Horton, B. K., Axen, G. J., Stockli, L. D., Grove, M., Schmit, A. K. and Walker, J. D., 2008- U- Pb zircon geochronology of late Neoproterozoic- Early Cambrian granitoids in Iran: implications for paleogeography, magmatism, and exhumation history of Iranian basement. *Tectonophysics* 451(1- 4): 71- 96.
- Horton, B. K., Hassanzadeh, J., Stockli, D. F., Axen, G. J., Gillis, R. J., Guest, B., Amini, A., Fakhari, M. D., Zamanzadeh, S. M. and Grove, M., 2008- Detrital zircon provenance of Neoproterozoic to Cenozoic deposits in Iran: Implications for chronostratigraphy and collisional tectonics. *Tectonophysics* 451: 97-122.
- Hosseini, B., Ghorbani, M., Pourmoafi, S. M. and Ahmadi, A. R., 2012- Identification of two different phases of metamorphosed granitoid in Kuh-Sefid Tootak anticline based on U-Pb Age dating. *Geoscience Quarterly Journal* 21: 57-66, Geological Survey of Iran, Tehran.
- Izadyar, J., Mousavizadeh, M. and Eram, M., 2013- Metamorphic evolution of high- pressure Quartz Schists in the Chadegan metamorphic complex, Sanandaj- Sirjan zone, Iran. *JGeope* 3(2): 1-20.
- Jamshidi-Badr, M., Masoudi, F., Collins, A. S. and Cox, G., 2010- Dating of Precambrian metasedimentary rocks and timing of their metamorphism in the Soursat metamorphic complex (NW Iran): using LA-LCP MS, U-Pb dating of zircon and monazite. *Journal of Science, Islamic Republic of Iran* 21(4): 311-319.
- Krogh, E. J., 1988- The garnet- clinopyroxene Fe-Mg geothermometer- a reinterpretation of existing experimental data. *Contribution to Mineralogy and Petrology* 99: 44-48.
- Krogh, E. J., 2000- The garnet- clinopyroxene Fe-Mg geothermometer: An updated calibration. *Journal of Metamorphic Geology* 18: 211-219.
- McDougal, I. and Harrison, T. M., 1999- Geochronology and thermochronology by the $^{40}\text{Ar}/^{39}\text{Ar}$ method. Oxford University press.
- Nutman, A. P., Mohajjal, M., Bennett, V. C. and Fergusson, C. L., 2014- Gondwanan Eoarchean–Neoproterozoic ancient crustal material in Iran and Turkey: zircon U-Pb-Hf isotopic evidence. *Canadian Journal of Earth Sciences* 51: 272–285.
- Pattison, D. R. M. and Newton, R. C., 1989- Reversed experimental calibration of the garnet-clinopyroxene Fe-Mg exchange thermometer. *Contributions to Mineralogy and Petrology* 101: 87–103.
- Pourteau, A., Sudo, M., Candan, O., Lanari, P., Vidal, O. and Oberhansli, R., 2013- Neotethys closure history of Anatolia: insights from $^{40}\text{Ar}/^{39}\text{Ar}$ geochronology and P-T estimation in high-pressure metasedimentary rocks. *Journal of Metamorphic Geology* 31:585-608.
- Powell, R., 1985- Regression diagnostics and robust regression in geothermometer/geobarometer calibration: the garnet- clinopyroxene geothermometer revisited. *Journal of Metamorphic Geology* 2: 33–42
- Rachidnejad-Omrani, N., Emami, M. H. Sabzehei, M. Rastad, E. Bellon, H. and Piqué, A., 2002- Lithostratigraphie et histoire paléozoïque à paléocène des complexes métamorphiques de la région de Muteh, zone de Sanandaj-Sirjan (Iran méridional). *Comptes rendus Geoscience* 334: 1185–1191.
- Ravna, E. G. and Terry, M. P., 2004- Geothermobarometry of UHP and HP eclogites and schists- an evaluation of equilibria among garnet- clinopyroxene- kyanite- phengite- coesite/quartz. *Journal of Metamorphic Geology* 22: 579-592.
- Sepahi, A., Shahbazi, H., Siebel, W. and Ranin, A., 2014- Geochronology of plutonic rocks from the Sanandaj-Sirjan zone, Iran and new zircon and titanite U-Th-Pb ages for granitoids from the Marivan pluton. *Geochronometria* 41: 207–215.
- Sheikholeslami, M. R., Pique, A., Mobayen, P., Sabzehei, M., Bellon, H. and Hashem Emami, M., 2008- Tectono-metamorphic evolution of the Neyriz metamorphic complex, Quri-Kor-e-Sefid area (Sanandaj–Sirjan Zone, SW Iran). *Journal of Asian Earth Sciences* 31: 504–521.

The Zayanderud metamorphic complex, North of Shahrekord: two entirely different interpretations of a basement complex in the Najafabad and Chadegan maps

R. Jamali Ashtiani¹, J. Hassanzadeh^{2*} and M. Rahgoshay³

¹Ph.D., Department of Earth Sciences, Shahid Beheshti University, Tehran, Iran

²Researcher, California Institute of Technology, California, USA

³Professor, Department of Earth Sciences, Shahid Beheshti University, Tehran, Iran

Received: 2016 October 16

Accepted: 2016 December 28

Abstract

Two different ages of Precambrian and Jurassic are considered for the Zayanderud metamorphic complex in the Najafabad and Chadegan geology maps, respectively. This disagreement has made these two maps to be the most incompatible adjacent maps. The metamorphic complex is nonconformably covered by fossiliferous Permian limestones suggesting a Pre-Permian age. This relative age is supported by $^{206}\text{Pb}/^{238}\text{U}$ zircon ages of Neoproterozoic for the cross-cutting mylonitic orthogneisses. In this paper we discuss the Jurassic age considered for protolith of the metamorphic and granitoid rocks in the Chadegan map as an misunderstanding in field observations. Also we argue that Ar/Ar Jurassic ages represent the time of metamorphism and do not reflect the protolith age.

Keywords: Zayanderud metamorphic complex, Geological map of Najafabad, Geological map of Chadegan, Precambrian, Jurassic.

For Persian Version see pages 95 to 102

*Corresponding author: J. Hassanzadeh, Jamshid@caltech.edu.